

## ВЛИЯНИЕ НЕИЗОЭНТРОПИЧЕСКИХ ПРОЦЕССОВ НА ПЕРЕХОД ГОРЕНИЯ В ДЕТОНАЦИЮ В ГОРЮЧИХ СМЕСЯХ

*M. A. Носков, П. Воланский, С. М. Фролов*

*Институт химической физики им. Н. Н. Семёнова РАН,  
117977 Москва*

Рассмотрена задача о самовоспламенении сжимаемого реагирующего газа в пристенном пограничном слое за одиночной ударной волной в трубе с адиабатической стенкой. В приближении одностадийной химической реакции показана возможность опережающего самовоспламенения газа в пограничном слое по сравнению с самовоспламенением в ядре потока. Взрыв в пограничном слое происходит локально, причем в окрестности взрывающейся частицы газа имеется конечный градиент периода индукции самовоспламенения. Расчитанная скорость волны самовоспламенения (спонтанного пламени) близка к местной скорости звука, что свидетельствует о возможности зарождения сильной взрывной волны. При учете неадиабатичности стеки исследуемый эффект проявляется при многократном сжатии реагирующей смеси ударными волнами или простыми волнами сжатия, а также для стеки из материала с низкой теплопроводностью.

Известно, что в достаточно длинных трубах горение газов может переходить в детонацию. Это явление объяснено в [1] как следствие взаимного влияния ударной волны (УВ) и фронта пламени. Расширяющиеся продукты горения генерируют волны сжатия, которые могут создать УВ. Последняя сжимает, подогревает и турбулизирует исходную смесь, способствуя увеличению скорости пламени; в свою очередь, продукты горения как поршень разгоняют УВ. Со временем данный комплекс достигает скорости детонации.

В [2] проведен расчет параметрической зависимости скорости УВ от скорости фронта пламени. Для фиксированного значения скорости УВ, используя законы сохранения массы, импульса и энергии, а также уравнение Гюгонио политропического газа на фронте пламени, определялась скорость фронта волны горения. Подобный подход использовали в [3] для одномерного расчета длины перехода горения в детонацию (ПГД). Эксперименты [4] показывают существенно меньшие времена ПГД, чем можно получить, используя подход [2, 3]. Из опытов следует, что описанный сценарий действует лишь до определенного момента, причем в процессе ускорения пламя генерирует несколько ударных волн. Детонация зарождается внезапно от локального взрыва, возникающего между фронтом пламени и одной из УВ. От места взрыва в противоположные стороны расходятся волны детонации и ретонации [4].

Для критической частицы (объем смеси, в котором со временем происходит взрыв, дающий начало детонационной волне, critical particle [4]) значения давления  $p$  и температуры  $T$  лежат ниже взрывных пределов по Льюису и Эльбе. С другой стороны, время индукции самовоспламенения значительно больше времени от момента вхождения критической частицы в УВ и до момента ее взрыва. Интеграл воспламенения

$$I = \int_0^t \frac{dt}{\tau(p, T)}, \quad (1)$$

вычисленный в [4], принимает значения от  $5 \cdot 10^{-4}$  до  $4 \cdot 10^{-2}$  в зависи-

мости от используемой корреляционной формулы для времени индукции самовоспламенения  $\tau(p, T)$ .

Возможное объяснение этому явлению, названному в [4] «взрывом во взрыве» (explosion in the explosion), предложено в [5]. По [5] необходимо учитывать влияние неизоэнтропических процессов. Например, нельзя пренебрегать пограничными слоями, возникающими за ударными волнами, генерируемыми пламенем. Диссипация кинетической энергии в окрестности стенки трубы вызывает повышение температуры, ускоряющее самовоспламенение смеси. Интересно, что в опытах [4] локальный взрыв, дающий начало детонации, происходил именно в пристеночной области.

Цель настоящей работы — оценка учета неизоэнтропичности в пограничных слоях, возникающих за УВ, на задержку самовоспламенения газовых частиц, попадающих в пограничный слой. Рассмотрены возможные варианты распределения температуры и показана причина изменения задержки самовоспламенения газовых частиц. Для анализа выбран простейший случай ламинарного пограничного слоя на адиабатической стенке за одиночной УВ; отобраны определяющие факторы задачи; приведен метод решения. Представлены результаты решения задачи для 11 лагранжевых частиц модельной газовой смеси. По результатам расчетов сделано предположение о возможности усиления волны давления при самовоспламенении в пограничном слое по механизму Зельдовича. Приведена оценка условий образования немонотонного профиля температуры в турбулентном пограничном слое и показана возможность возрастания в нем температуры за несколькими последовательными УВ или простыми волнами сжатия. Обсуждается значимость рассматриваемого явления при ПГД в трубах из материалов с различной теплопроводностью.

### Постановка задачи

Пусть по трубе, заполненной детонационно-способной газовой смесью, движется УВ, которая приводит в движение первоначально покоящийся газ. На стенках трубы образуется пограничный слой. Попадая в него, смесь тормозится, и энергия движения переходит в тепловую. В зависимости от условий теплообмена на стенке ударной трубы температура смеси в пограничном слое может быть выше или ниже температуры ударно-сжатого газа в ядре потока [6].

В зависимости от температуры стенки  $T_w$ , местного числа Маха ядра потока  $M_\infty$  за УВ и отношения удельных теплоемкостей газа  $\gamma$  возможны следующие варианты: 1) при температуре стенки меньше температуры ядра потока ( $T_w < T_\infty$ ) и  $M_\infty < M^*$  зависимость  $T(y)$  монотонно убывающая (рис. 1, 5). Здесь

$$M^* = \sqrt{\frac{2}{\gamma - 1} \left( \frac{T_w}{T_\infty} - 1 \right)};$$

2) при  $T_w < T_\infty$  и  $M_\infty > M^*$  температура смеси имеет максимум внутри пограничного слоя (рис. 1, 4); 3) при  $T_\infty < T_w < T_\infty^*$  температура в пограничном слое больше  $T_\infty$  (кривая 3). Здесь  $T_\infty^* = T_\infty \left( 1 + \frac{\gamma-1}{2} M_\infty^2 \right)$  — температура торможения в ядре потока; 4) температура монотонно возрастает до  $T_\infty^*$  при адиабатической стенке (рис. 1, 2); 5) при  $T_w > T_\infty^*$  температура в пограничном слое монотонно возрастает, но в отличие от пп. 1–4 тепло передается от стенки к газу (кривая 1).

В случае 1 газовая частица, попадая в пограничный слой, охлаждается, а в других случаях температура газовой частицы здесь может возрастать. Переменность температуры вблизи стенки приведет к измене-

нию периода индукции самовоспламенения частиц, входящих в пограничный слой, по сравнению со временем индукции в ядре потока. Из рис. 1 следует, что в пограничном слое  $\nabla \tau \neq 0$ , где  $\nabla = \frac{\partial}{\partial x} \vec{i} + \frac{\partial}{\partial y} \vec{j} + \frac{\partial}{\partial z} \vec{k}$  — вектор-градиент. Время индукции, вычисленное для частиц, попадающих в пограничный слой, будет отличаться от значений, полученных для критической частицы в [4].

Примем следующие допущения: 1) стена трубы плоская, гладкая, адиабатическая; 2) ударное сжатие газа однократное, ударная волна плоская; 3) течение газа за ударной волной плоскосимметричное; 4) теплофизические свойства газа постоянны; 5) пограничный слой ламинарный; 6) химическая реакция одноступенчатая; 7) предвзрывной разогрев смеси незначителен и им можно пренебречь по сравнению с разогревом в результате торможения газа.

Введем прямоугольную систему координат, связанную с УВ. Плоскость УВ соответствует  $x = 0$ , положение стенки  $y = 0$ . Ось  $x$  направлена вдоль по потоку ударно-сжатого газа. Газ в УВ втекает со скоростью  $D$ , вытекает со скоростью  $w$ . В пограничном слое происходит разгон смеси до скорости стенки  $D$ . Найдем время индукции самовоспламенения для частицы, входящей в пограничный слой. Запишем уравнение для изменения концентрации реагента, участвующего в бимолекулярной реакции

$$\frac{da}{dt} = -ka^2 \exp(-E/RT). \quad (2)$$

Начальное условие:  $a|_{t=0} = 1$ . Здесь  $a = [A]/[A]_0$  — концентрация реагента, например окислителя;  $k$  — предэкспоненциальный множитель;  $E$  — энергия активации;  $R$  — универсальная газовая постоянная.

В отсутствие предвзрывного разогрева можно считать, что смесь взрывается при изменении концентрации исходных веществ на  $\Delta a \approx 7\%$ . Этот результат получен из условия  $I = 1$  в предварительных расчетах, в которых вычисляли интеграл (1) с учетом (2) при принятых ниже кинетических параметрах.

Температуру найдем из уравнений сжимаемого пограничного слоя [7]. При условии  $\frac{du}{dx} = 0$ ,  $\text{Pr}=1$ ,  $\gamma = \text{const}$ ,  $v^2 \ll u^2$  температура частицы запишется в виде

$$T = T_\infty \left[ 1 + \frac{\gamma - 1}{2} M_\infty^2 \left( 1 - \frac{u^2}{U_\infty^2} \right) \right], \quad (3)$$

где  $u$ ,  $v$  — продольная и поперечная составляющие скорости частицы в лабораторной системе координат;  $\text{Pr}$  — число Прандтля;  $U_\infty = D - w$ .

Распределение продольной составляющей скорости в ламинарном пограничном слое для ряда значений параметра  $\theta = \frac{D}{w}$  получено в [8]. Для  $\theta \in [1,2; 5,0]$  с хорошей точностью кривую распределения  $u = u(z)$ , где  $z = \frac{y}{2} \sqrt{\frac{w}{x\nu_\infty}}$ ,  $\nu_\infty$  — вязкость ядра потока, можно приблизить системой прямых отрезков.

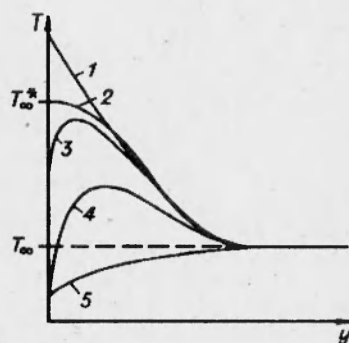


Рис. 1. Профили статической температуры газа в пограничном слое за фронтом УВ.

Используя уравнение непрерывности

$$\frac{\partial \rho u}{\partial x} + \frac{\partial \rho v}{\partial y} = 0, \quad (4)$$

можно найти составляющую скорости  $v$ . Тогда из уравнений для траектории частицы

$$\frac{dx}{dt} = u, \quad \frac{dy}{dt} = v,$$

а также из (2)–(4) определим момент и местоположение самовоспламенения частицы.

### Результаты расчетов

Систему определяющих уравнений решали численно. Для значений  $\theta$ , отличных от табулированных в [8], применяли линейную интерполяцию.

В проведенных расчетах использовали модельную смесь, кинетические константы и теплофизические параметры исходной смеси ( $\gamma = 1,36$ ,  $\nu = 10^{-5}$  м<sup>2</sup>/с,  $k = 10^{10}$  с<sup>-1</sup>,  $E = 40$  ккал/моль,  $p_0 = 1$  атм,  $T_0 = 300$  К,  $a_0 = 538,5$  м/с,  $M=3,5$ ) и ударно-сжатого газа ( $D = 1885$  м/с,  $U_\infty = 427$  м/с,  $p_1 = 14,2$  атм,  $T_1 = 966$  К,  $a_1 = 952,7$  м/с,  $\rho_1 = 2,15$  кг/м<sup>3</sup>,  $M_\infty=1,53$ ,  $T_w = 1662$  К).

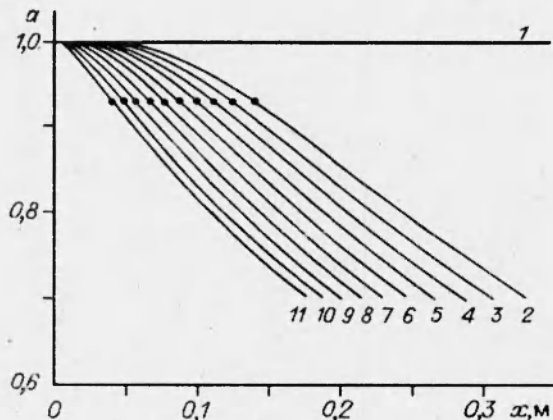


Рис. 2. Изменение концентрации реагента в частицах 1–11 с расстоянием от фронта УВ. Здесь и на рис. 3–6 точки на кривых соответствуют состоянию частицы в момент ее самовоспламенения. Самовоспламенение в ядре (частица 1) потока наступает значительно позже, чем в пограничном слое.

Для анализа выбраны 11 частиц, первоначально находившихся на разных расстояниях от стенки трубы. Начальные ординаты  $y_0$  (при  $x = 0$ ) газовых частиц приведены в табл. 1. Частица 1 находится в ядре потока, остальные 10 входят в пограничный слой в разные моменты времени. В табл. 1 приведены также параметры частиц, соответствующие моменту самовоспламенения, период индукции самовоспламенения  $\tau$ , расстояние вдоль оси  $x$ , пройденное частицей до момента самовоспламенения  $x_1$ , температура частиц, местная скорость звука  $a_s$  и значение интеграла (1).

На рис. 2 показаны изменения концентрации реагента в частицах 1–11 с расстоянием от УВ. Здесь и далее точки на кривых соответствую-

Таблица 1

Значения некоторых параметров газовых частиц  
в момент их самовоспламенения

Номер частицы	$y_0 \cdot 10^5$ , м	$\tau$ , мкс	$x_i$ , м	$T_i$ , К	$a_s$ , м/с	$I$	$u_{sp}$ , м/с
1	Ядро потока	7480	3,190	966	953	1,00	—
2	12	198	0,141	1278	1096	0,87	419
3	11	171	0,126	1288	1100	0,88	556
4	10	149	0,113	1297	1104	0,89	591
5	9	128	0,100	1302	1106	0,88	619
6	8	109	0,088	1310	1109	0,88	631
7	7	91	0,078	1320	1113	0,89	556
8	6	74	0,068	1328	1117	0,89	588
9	5	59	0,057	1339	1121	0,88	733
10	4	46	0,049	1349	1126	0,89	615
11	3	35	0,041	1357	1129	0,89	727

ют состоянию частицы в момент ее самовоспламенения. Из рис. 3 видно, что температура ядра потока остается постоянной, тогда как температура частицы, входящей в граничный слой, стремится к  $T^* = 1375$  К. Пространственно-временная диаграмма движения частиц и УВ в лабораторной системе координат построена на рис. 4. Попадая в граничный слой, частицы замедляются. На рис. 5 показаны траектории частиц в плоскости  $xy$ , а также граница граничного слоя  $\delta$ . Значения  $I$  для частицы 1 в выбранном масштабе времени близки к нулю (рис. 6), тогда как для частиц 2–11 в момент самовоспламенения  $I \approx 1$ . Оценим значение величины  $\frac{u_{sp}}{a_s}$ , где  $u_{sp}$  — скорость волны самовоспламенения («волны спонтанного горения» по [9]),

$$u_{sp} = \frac{1}{|\nabla \tau|} \approx \left( \frac{\Delta \tau}{\Delta x} \right)^{-1}.$$

Используя данные в табл. 1, а также рис. 2–6, можно получить, что скорость волны воспламенения для частиц 2–11 по порядку величины равна местной скорости звука:  $u_{sp} \approx a_s$ . Этот факт говорит о возможности усиления возмущения давления по механизму Зельдовича [9] на малых расстояниях в граничном слое. Усиление волны давления может привести к зарождению сильной взрывной волны типа детонации [10]. Интересно, что интеграл (1), вычисленный для частицы 1 в момент самовоспламенения частиц 2–11, близок к значениям, полученным в [4] для критической частицы. Следовательно, несоответствие оценок и наблюдений в [4] можно отнести к влиянию рассматриваемого эффекта в предположении адабатичности стенки.

### Обсуждение результатов

Рассмотрение влияния граничного слоя на воспламенение смеси за УВ в рамках принятых упрощений показывает, что указанный эффект весьма существен. Однако допущение об адабатичности стенки, хотя и позволяет получить предельную картину явления, спорно. В работах [11–13] реализуется профиль температуры, как на рис. 1, 5, причем температура стенки за УВ повышается лишь на несколько десятков градусов. Однако при изменении материала и начальной температуры стенки, числа

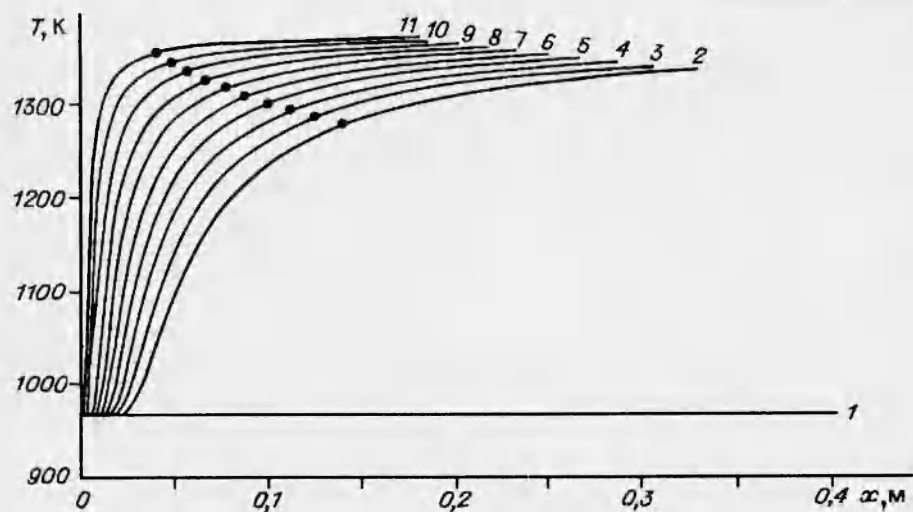


Рис. 3. Зависимость температуры частиц в пограничном слое от расстояния до фронта ударной волны.

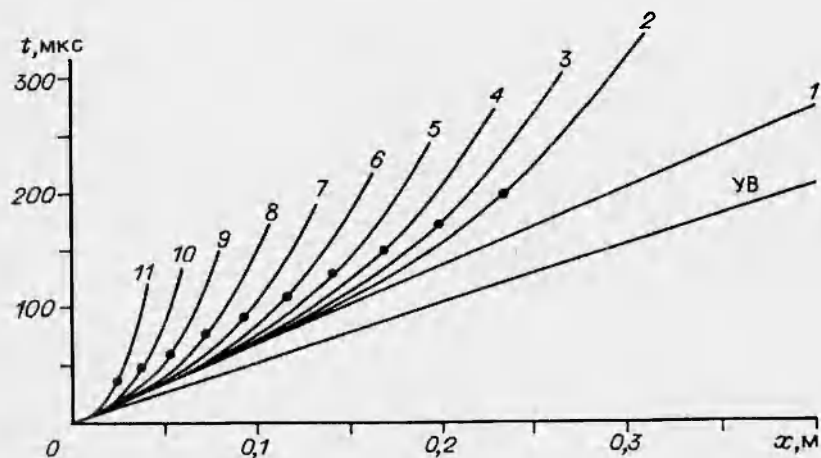


Рис. 4. Пространственно-временная диаграмма движения частиц 1–11 и УВ в лабораторной системе координат.

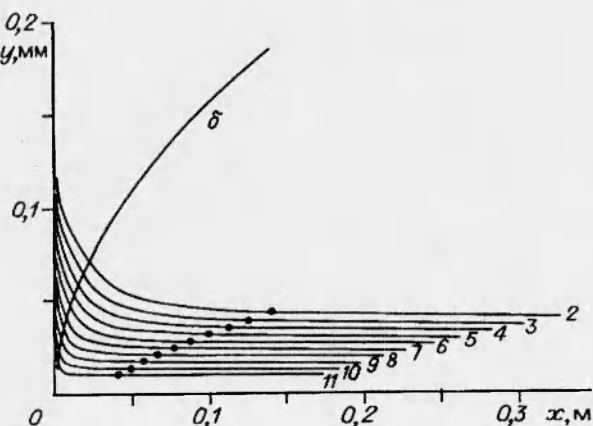


Рис. 5. Траектории частиц.

М и  $\gamma$ , а также при наличии движения газа перед УВ возможен переход к профилям температуры типа кривых 1–4 на рис. 1.

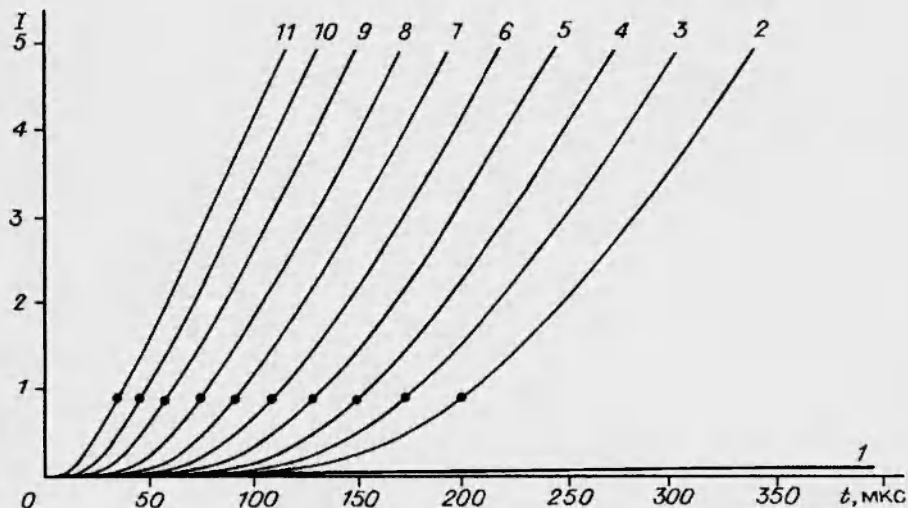


Рис. 6. Зависимость интеграла воспламенения (1) от времени.

Приведем соответствующие оценки для неадиабатического турбулентного пограничного слоя. Из распределения температуры следует, что при  $T_w > T_w^*$ , где

$$T_w^* = T_\infty \left( 1 - \frac{\gamma - 1}{2} M_\infty^2 \right), \quad (5)$$

профиль температуры газа перестает быть монотонно убывающим (т. е. тип кривых 1–4 на рис. 1).

Таблица 2

Значения  $T_w^*$  (К) за последовательностями УВ  
и простых волн сжатия

N	УВ при $M$ , равном			N	Простые волны сжатия при $M$ , равном		
	1,2	1,5	2,0		1,1	1,15	1,2
1	333	367	413	14	375	343	242
2	358	389	359	15	375	327	197
3	374	242	—	16	372	309	—
4	378	192	—	17	368	287	—
5	368	—	—	18	364	260	—
6	343	—	—	19	358	229	—

Например, для описанных в [4] условий ( $\gamma = 1,4$ ,  $T_\infty = 637$  К,  $U_\infty = 1264$  м/с,  $M_\infty = 1,62$ )  $T_w^* = 302$  К. Заметим, что в опытах [4] горючая смесь подвергалась многократному сжатию в двух УВ и  $\approx 12$  простых волнах сжатия прежде, чем реализовались указанные условия. В случае нескольких УВ или нескольких простых волн сжатия значения  $T_w^*$  меньше, чем в случае одиночной УВ. В табл. 2 приведены значения  $T_w^*$  для последовательностей ударных волн и простых волн сжатия одинаковой

интенсивности. Исходная смесь неподвижна и имеет начальные параметры:  $T_0 = 300$  К,  $\gamma = 1,4$ ,  $a_0 = 340$  м/с. Видно, что при определенном количестве волн  $N$  значение  $T_{\text{ст}}^*$  начинает уменьшаться (например, для УВ при  $M=1,2$  и  $N = 5$   $T_{\text{ст}5}^* < T_{\text{ст}4}^*$ ).

В [11–13] отмечается, что за время  $\sim 10^{-4}$ – $10^{-3}$  с температура стенки за УВ повышается на десятки градусов. Согласно нашим оценкам, это соответствует увеличению статической температуры газа в пограничном слое лишь на десятки градусов по сравнению с температурой ядра потока. Следовательно, в рассматриваемом случае эффект торможения смеси на стенке не приведет к столь значительному уменьшению времени индукции самовоспламенения газовых частиц как в случае адиабатической стенки. Для стенок из материала с низкой теплопроводностью повышение температуры более значительно и изучаемые эффекты, по-видимому, следует принимать во внимание.

#### ЛИТЕРАТУРА

1. Зельдович Я. Б., Компанец А. С. Теория детонации. М.: Гостехтеориздат, 1955.
2. Основы газовой динамики / Под ред. Г. Эммонса. М.: Изд-во иностр. лит., 1963.
3. Lee C. O., Sichel M. An investigation of the steady flame propagation in a duct // Proc. Meeting of the Eastern Section of the Combustion Institute. Orlando, Florida, Dec. 3–5, 1990.
4. Meyer J. W., Urtiew P. A., Oppenheim A. K. On the inadequacy of gasdynamic processes for triggering the transition to detonation // Combust. Flame. 1970. V. 14, N 1. P. 13–20.
5. Wolanski P. Influence of non-isentropic on transition from deflagration to detonation in combustion mixtures // Arch. Combustionis. 1991. V. 11, N 3–4. P. 143–149.
6. Основы теплопередачи в авиационной и ракетно-космической технике / Под ред. В. К. Кошкина. М.: Машиностроение, 1975.
7. Шлихтинг Г. Теория пограничного слоя. М.: Наука, 1974.
8. Лойцянский Л. Г. Ламинарный пограничный слой. М.: Физматгиз, 1962.
9. Zeldovich Ya. B. Regime classification of an exothermic reaction with nonuniform initial conditions // Combust. Flame. 1980. V. 39, N 2. P. 211–214.
10. Флоров С. М., Гельфанд Б. Е., Цыганов С. А. Спонтанные режимы горения // Физика горения и взрыва. 1993. Т. 29, № 1. С. 111–123.
11. Майрлс Г. Пограничный слой на стенке за движущейся ударной волной // Ударные трубы: Сб. ст. М.: Изд-во иностр. лит., 1962. С. 320–331.
12. Чабай А., Эмрич Р. Измерение температуры стенки и теплового потока в ударной трубе // Там же. С. 617–618.
13. Rabinovitz J., Jessey M. E., Bartsch C. A. Resistance thermometer for transient high-temperature studies // J. Appl. Phys. 1956. V. 27, N 1. P. 97–98.

*Поступила в редакцию 15/I 1994 г.,  
в окончательном варианте — 18/X 1994 г.*